

11N20MIMO_Ant3_5745



11N20MIMO_Ant4_5745



11N20MIMO_Ant1_5785



11N20MIMO_Ant2_5785



11N20MIMO_Ant3_5785



11N20MIMO_Ant4_5785



11N20MIMO_Ant1_5825



11N20MIMO_Ant2_5825



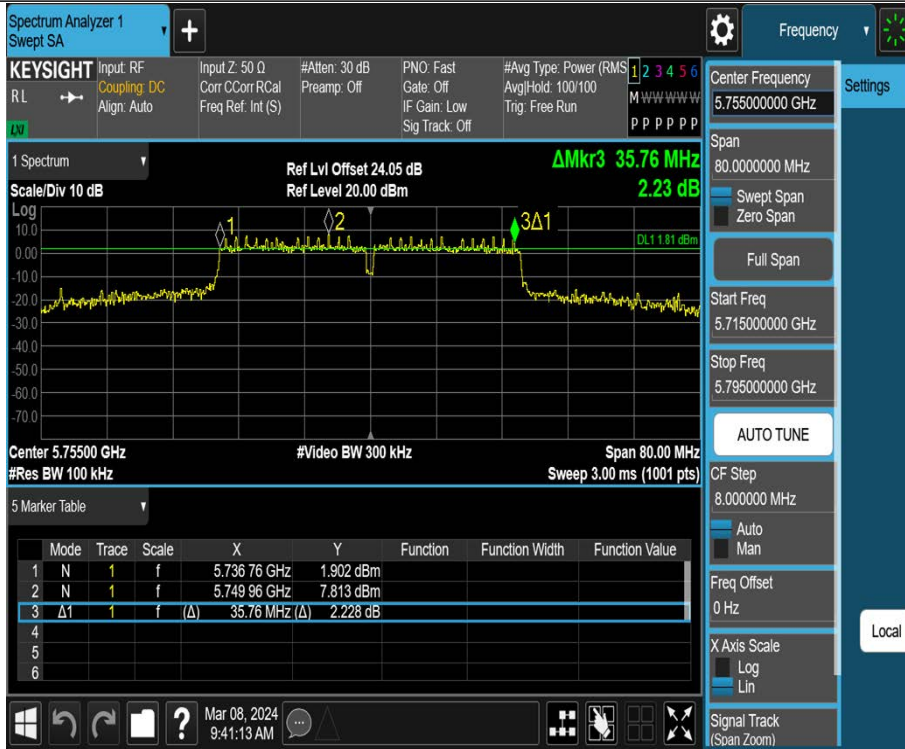
11N20MIMO_Ant3_5825



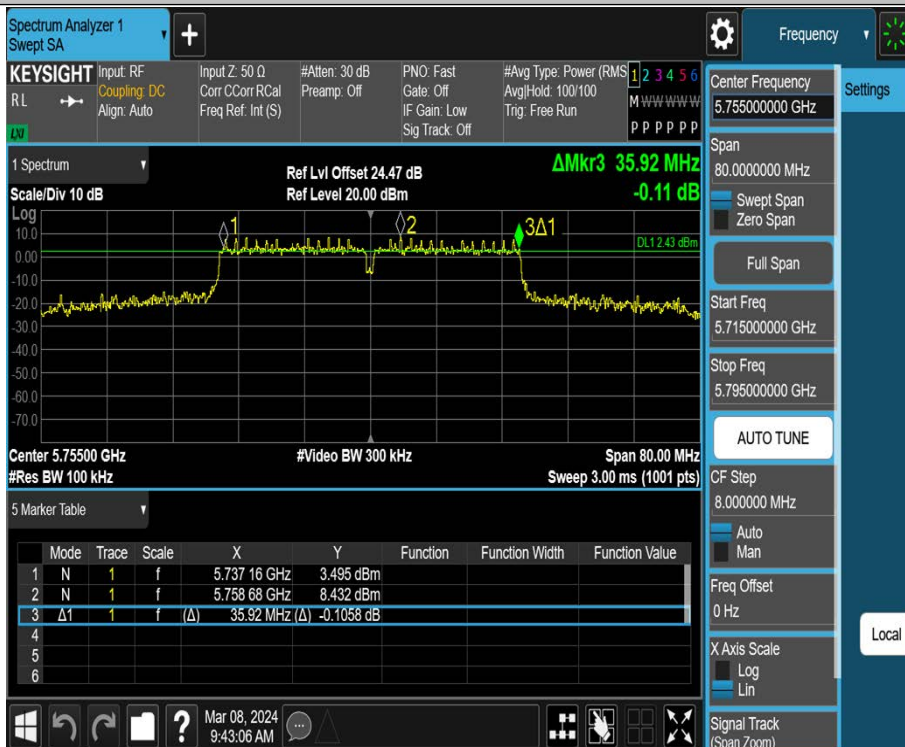
11N20MIMO_Ant4_5825



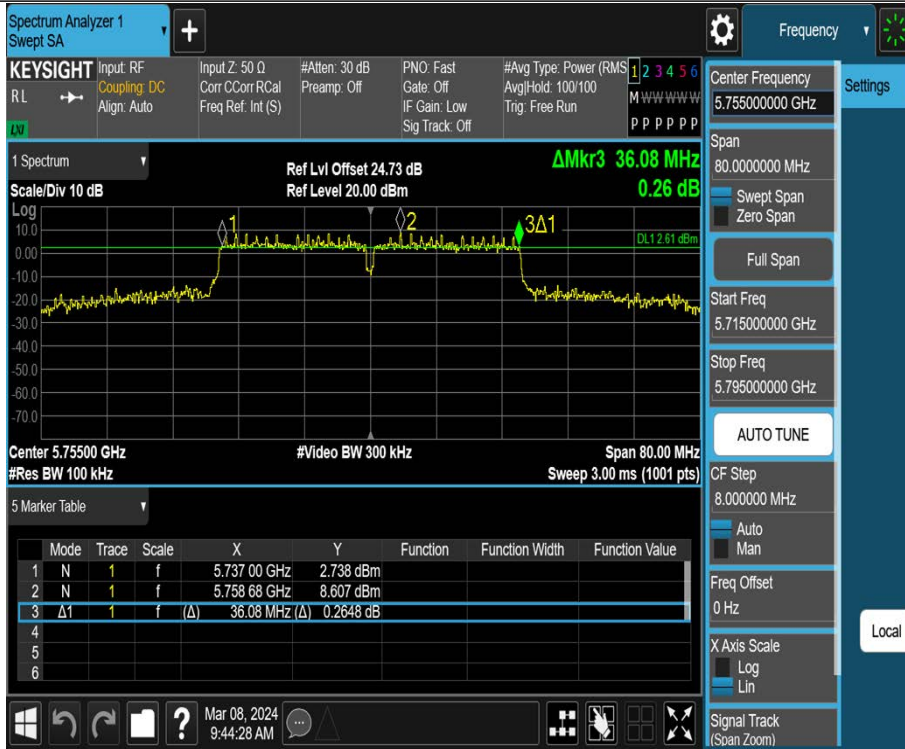
11N40MIMO_Ant1_5755



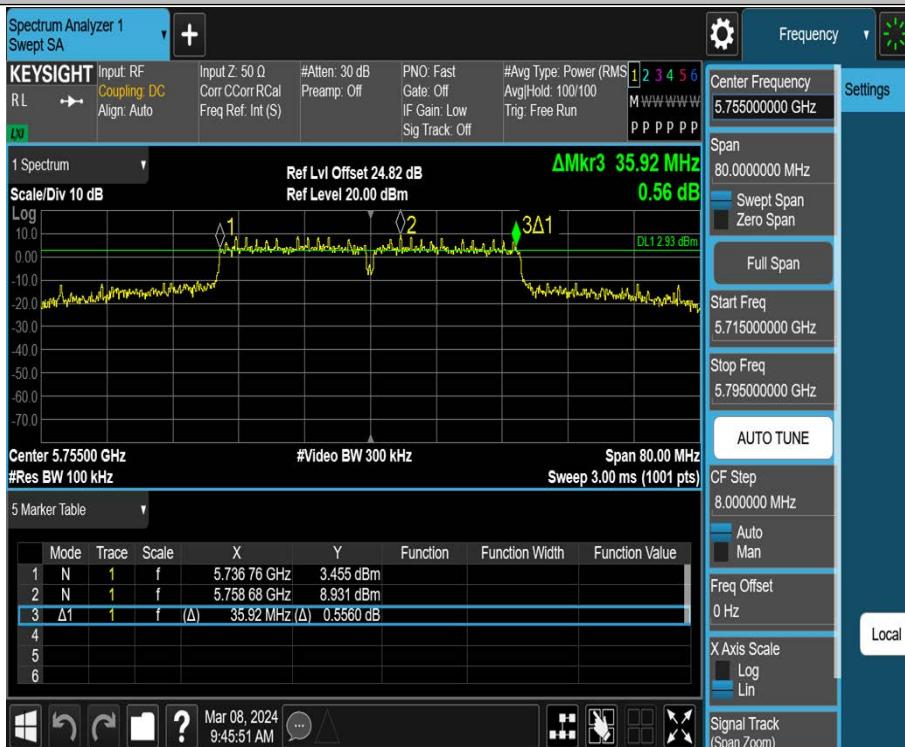
11N40MIMO_Ant2_5755



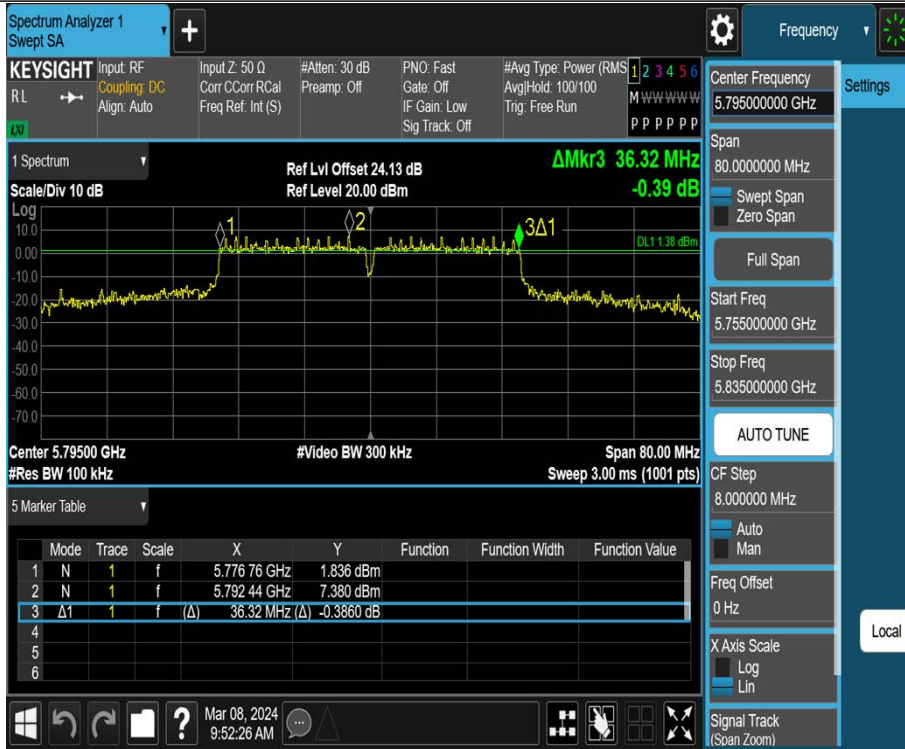
11N40MIMO_Ant3_5755



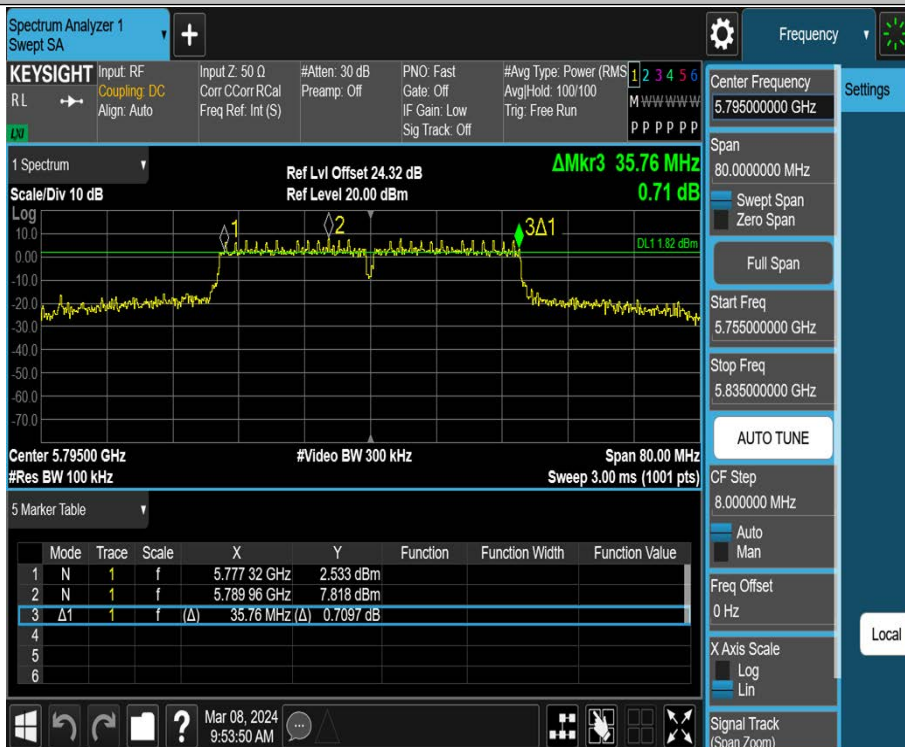
11N40MIMO_Ant4_5755



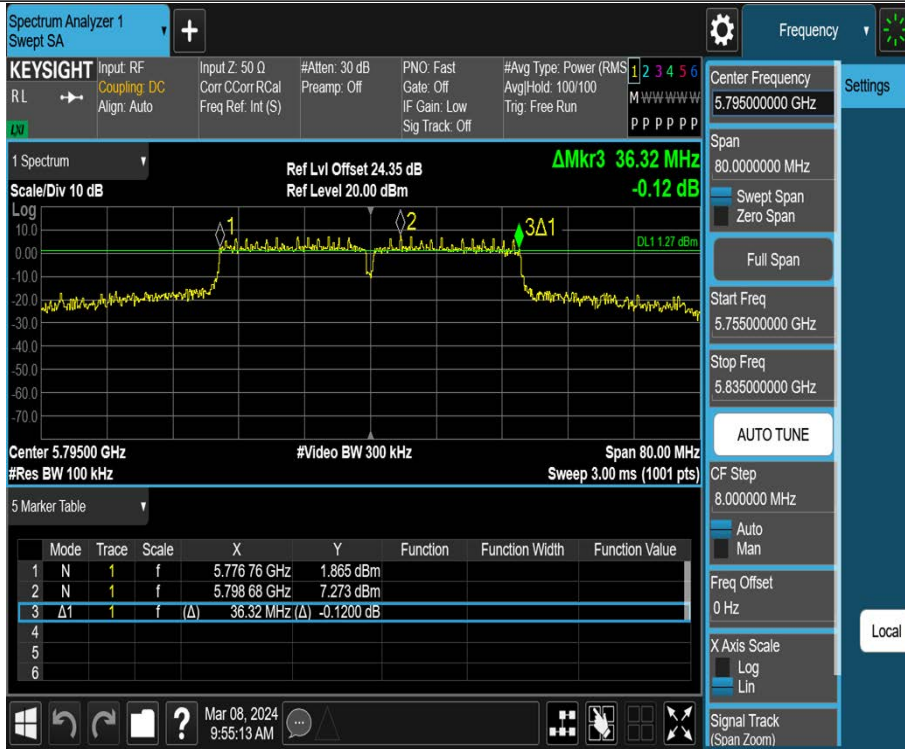
11N40MIMO_Ant1_5795



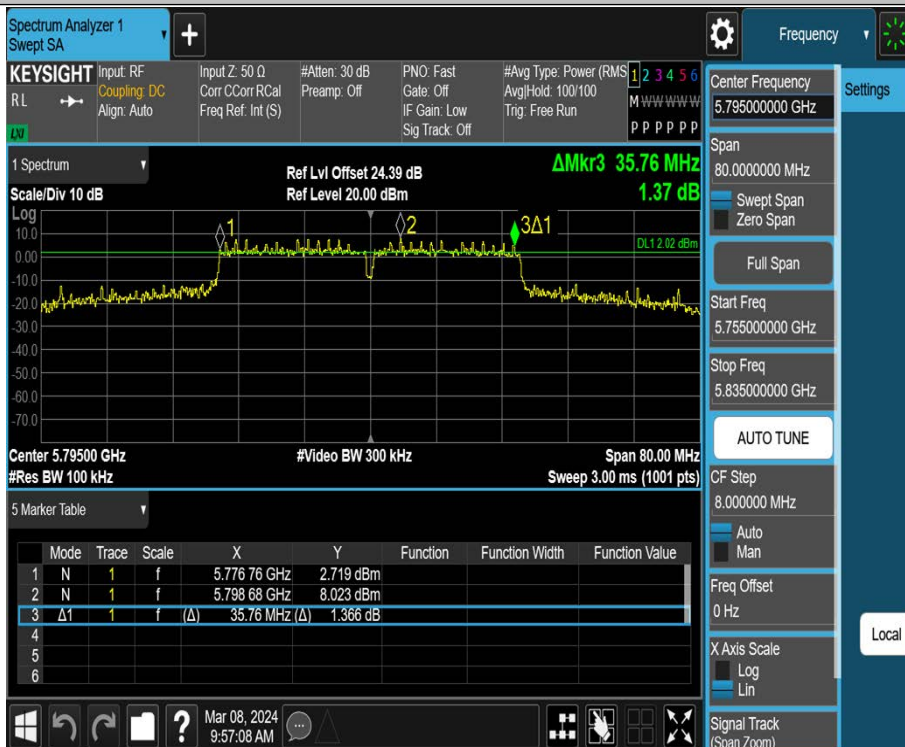
11N40MIMO_Ant2_5795



11N40MIMO_Ant3_5795



11N40MIMO_Ant4_5795



11AC20MIMO_Ant1_5745



11AC20MIMO_Ant2_5745



11AC20MIMO_Ant3_5745



11AC20MIMO_Ant4_5745



11AC20MIMO_Ant1_5785



11AC20MIMO_Ant2_5785



11AC20MIMO_Ant3_5785



11AC20MIMO_Ant4_5785



11AC20MIMO_Ant1_5825



11AC20MIMO_Ant2_5825



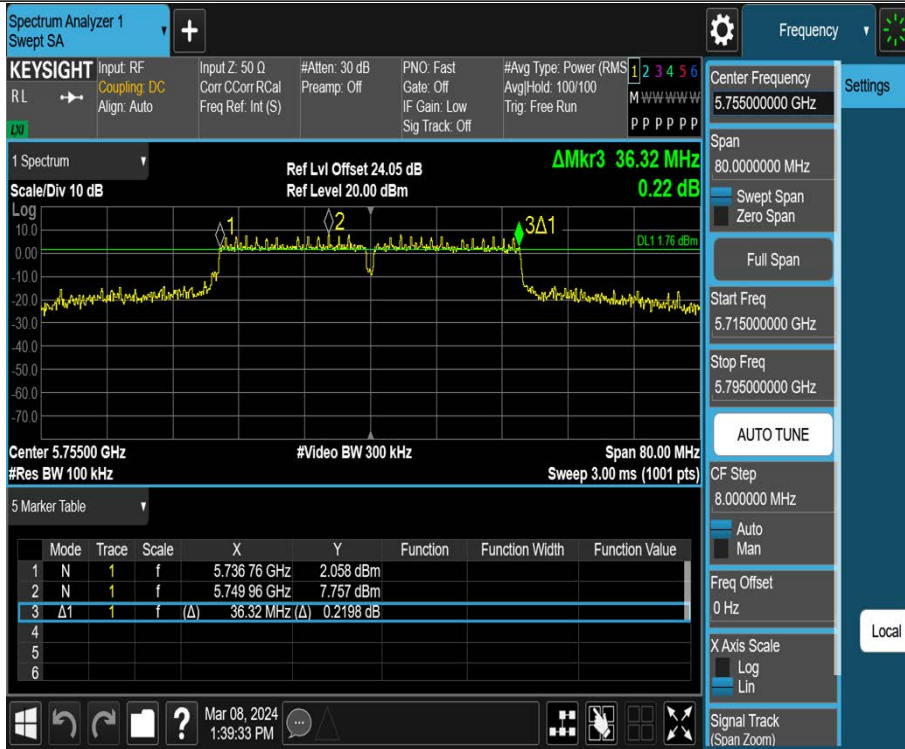
11AC20MIMO_Ant3_5825



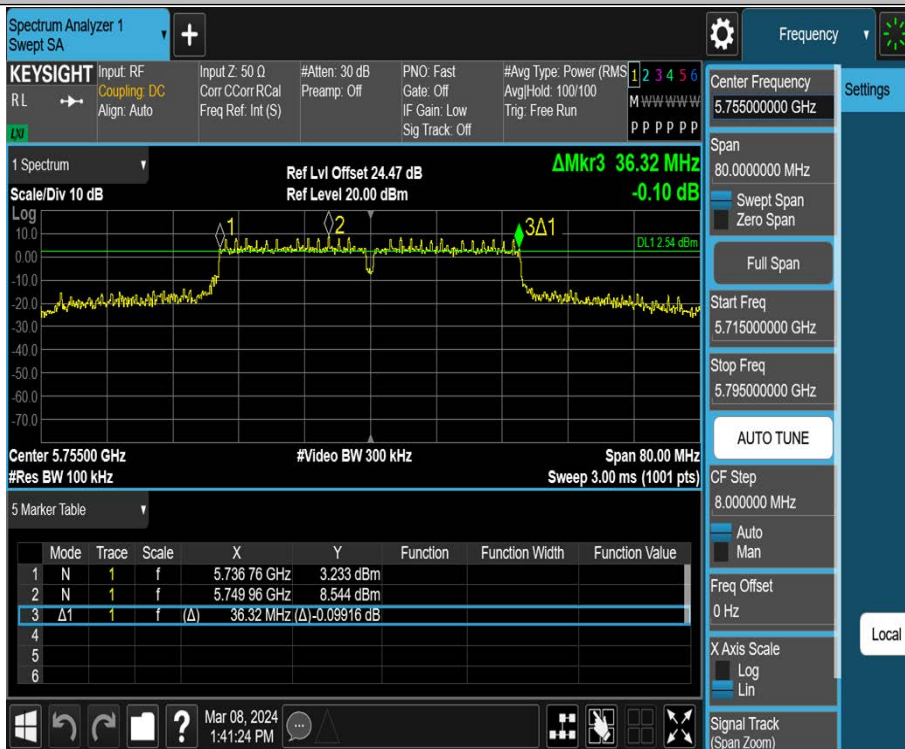
11AC20MIMO_Ant4_5825



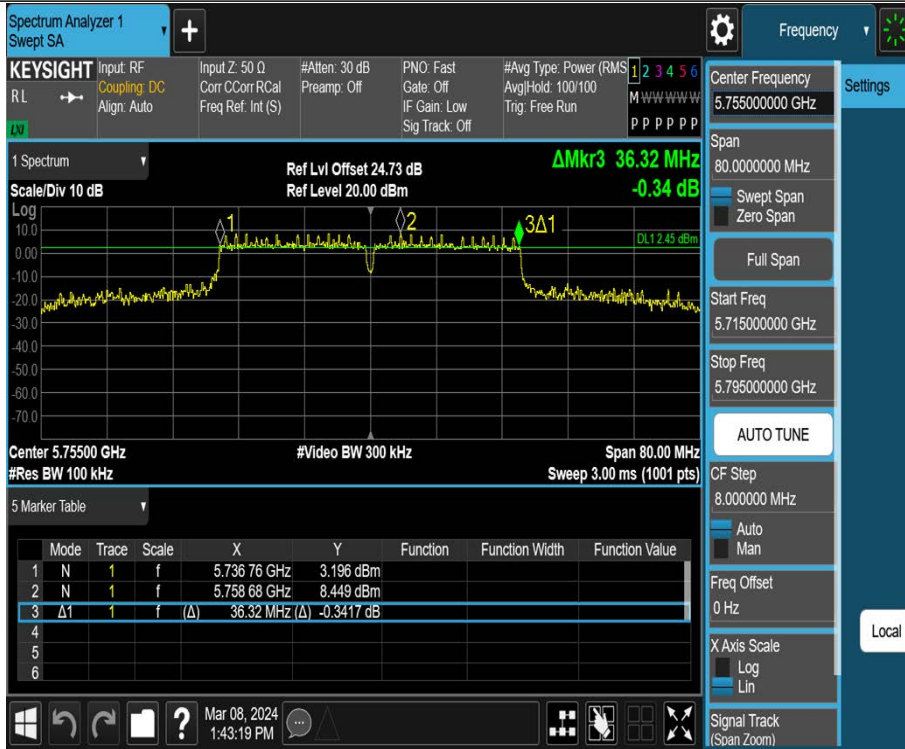
11AC40MIMO_Ant1_5755



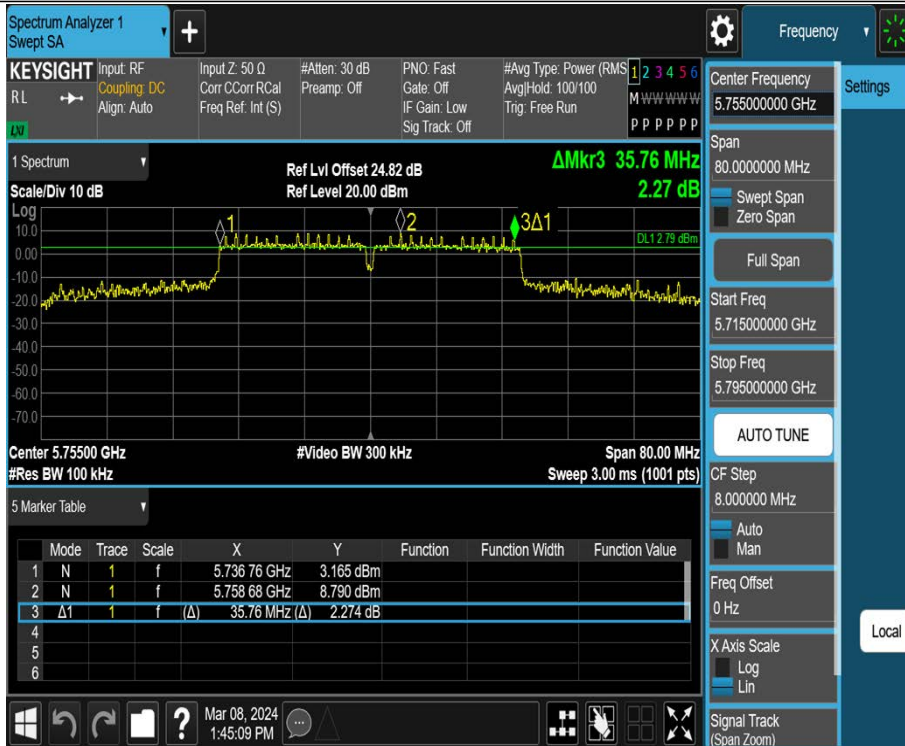
11AC40MIMO_Ant2_5755



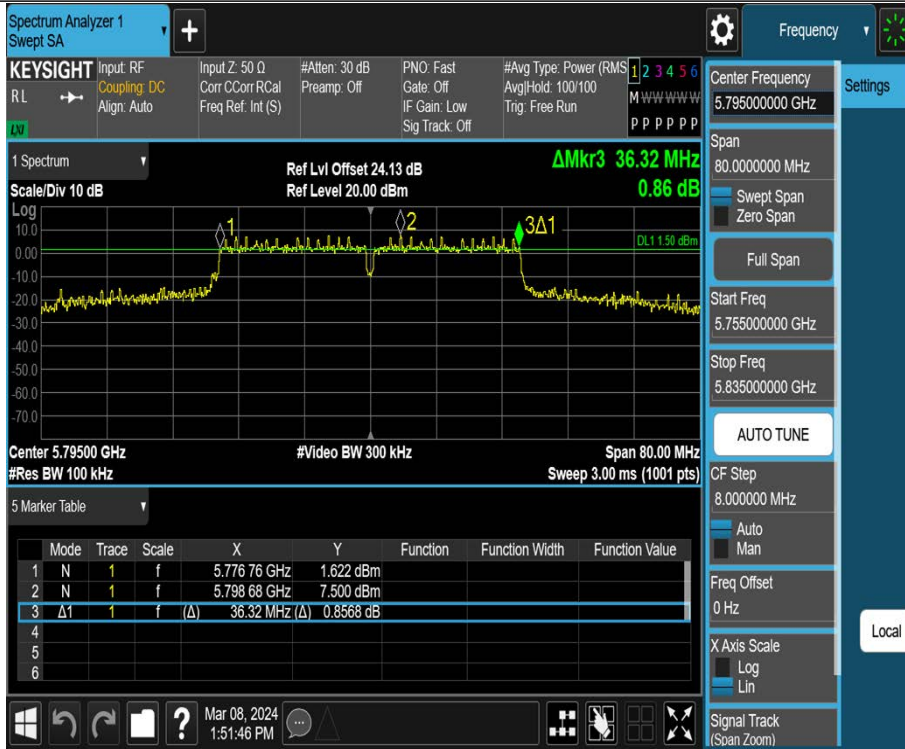
11AC40MIMO_Ant3_5755



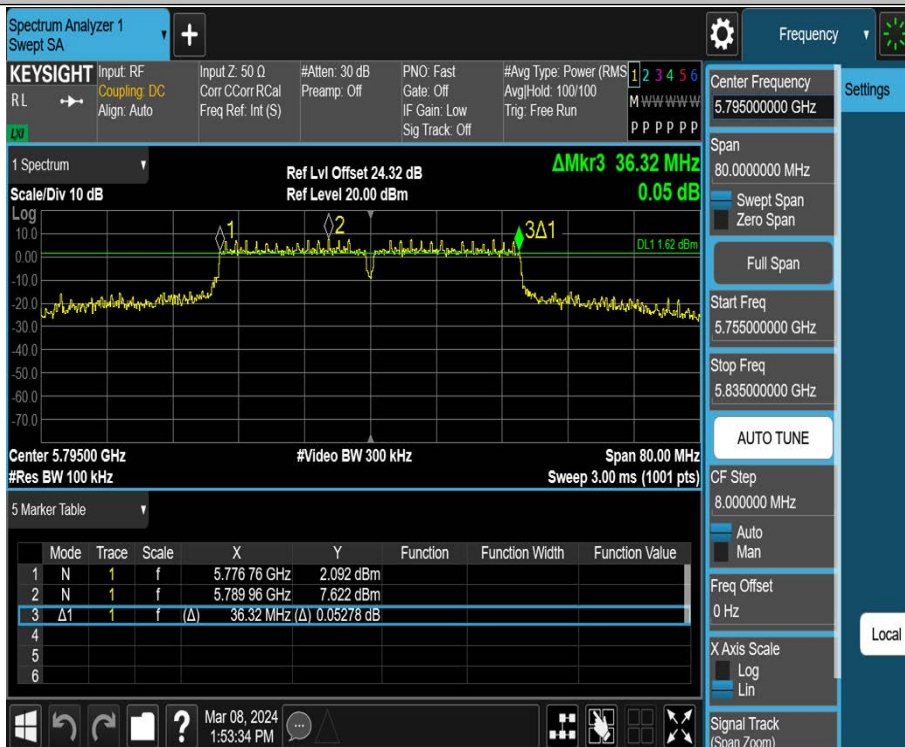
11AC40MIMO_Ant4_5755



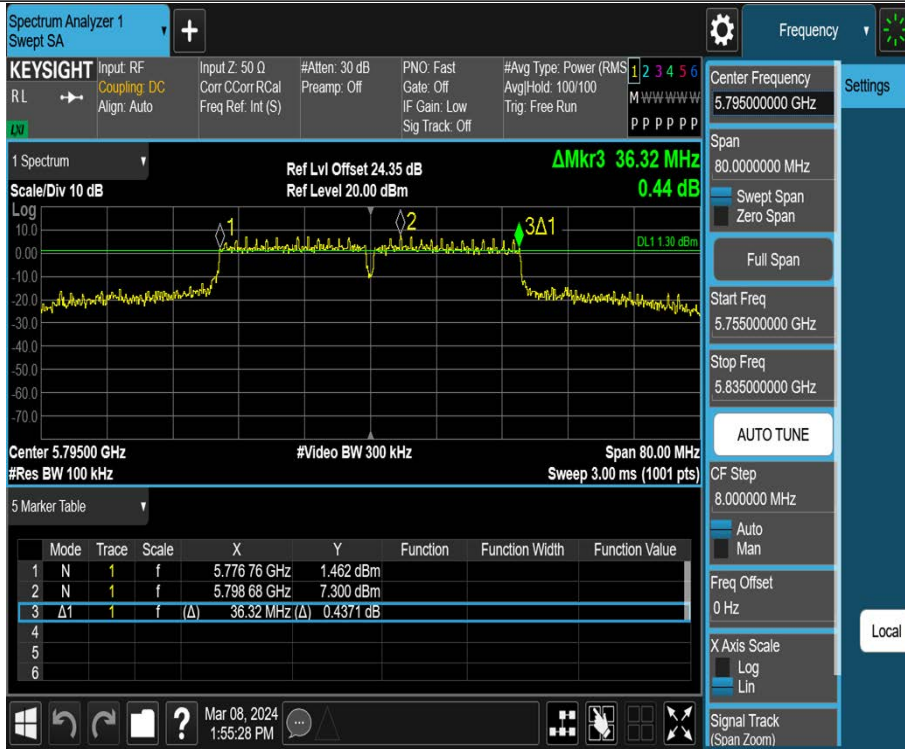
11AC40MIMO_Ant1_5795



11AC40MIMO_Ant2_5795



11AC40MIMO_Ant3_5795



11AC40MIMO_Ant4_5795



11AC80MIMO_Ant1_5775



11AC80MIMO_Ant2_5775



11AC80MIMO_Ant3_5775



11AC80MIMO_Ant4_5775



11AX20MIMO_Ant1_5745



11AX20MIMO_Ant2_5745



11AX20MIMO_Ant3_5745



11AX20MIMO_Ant4_5745



11AX20MIMO_Ant1_5785



11AX20MIMO_Ant2_5785

